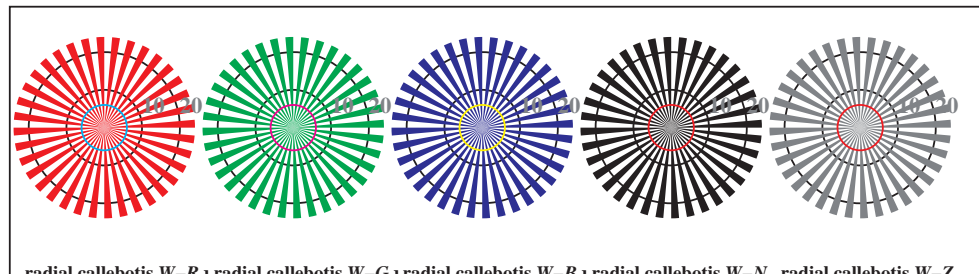




TF830-3, Fig. D1Wdd: le motif fleuri, 14 CIE test couleurs et 2 + 16 gris étapes (sf); PS 4 colorimage

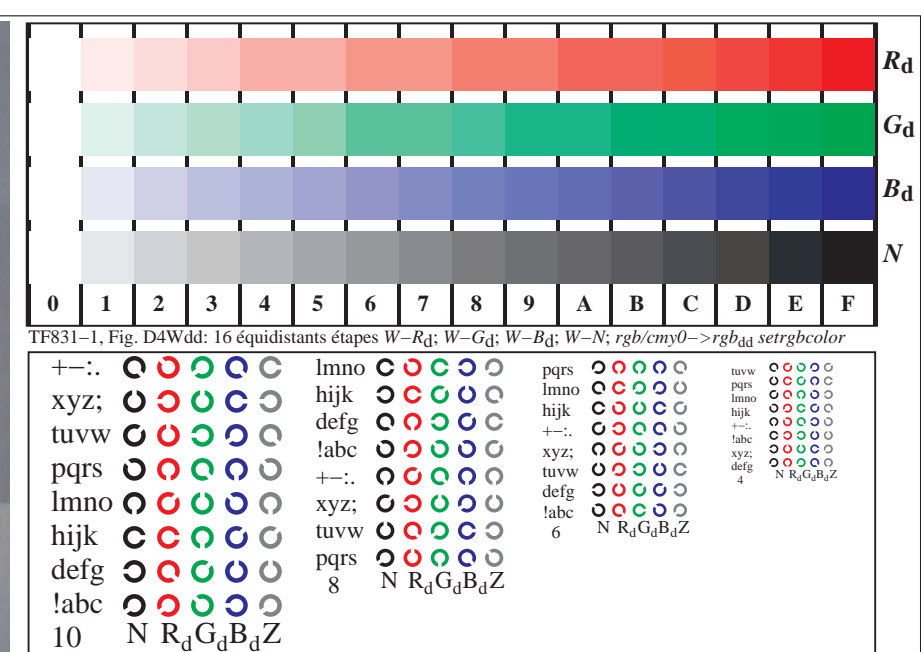


radial callebotis $W-R_d$ radial callebotis $W-G_d$ radial callebotis $W-B_d$ radial callebotis $W-N$ radial callebotis $W-Z$

TF830-5, Fig. D2Wdd: radial callebotis $W-R_d$; $W-G_d$; $W-B_d$; $W-N$; PS operator $rgb \rightarrow rgb_{dd}$ setrgbcolor

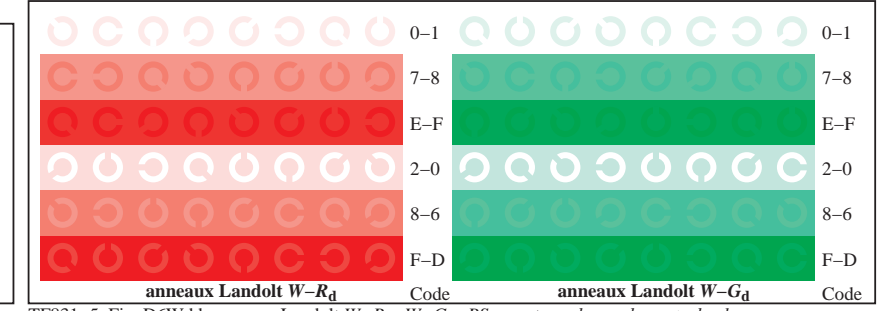


TF830-7, Fig. D3Wdd: 14 CIE test couleurs et 2 + 16 gris étapes (sf); $rgb/cm\gamma 0 \rightarrow rgb_{dd}$ setrgbcolor

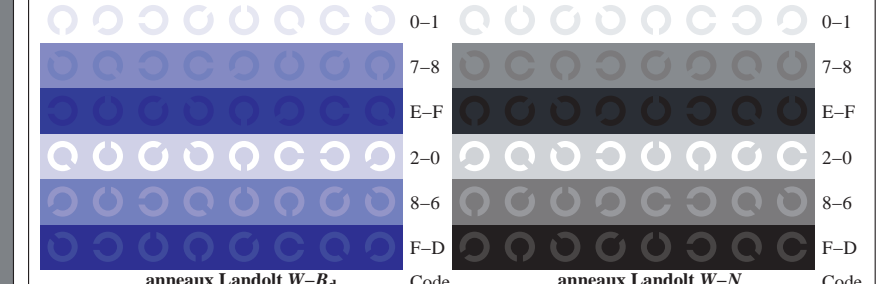


+-..	Q	O	C	Q	C	lmno	C	O	C	O	pqrs	O	O	O	O	tuvw	O	O	O						
xyz;	O	O	O	O	O	hijk	O	C	O	O	lmno	O	O	O	O	pqrz	O	O	O						
tuvw	O	O	O	O	O	defg	O	O	O	O	hijk	O	O	O	O	ijkl	O	O	O						
pqrs	O	O	O	O	O	!abc	O	O	O	O	+-..	O	O	O	O	tabc	O	O	O						
lmno	O	O	O	O	O	xyz;	O	O	O	O	xyz;	O	O	O	O	xyzz	O	O	O						
hijk	C	C	C	C	C	tuvw	O	O	O	O	defg	O	O	O	O	defg	O	O	O						
defg	O	O	O	O	O	pqrs	O	O	O	O	!abc	O	O	O	O	!abc	O	O	O						
!abc	O	O	O	O	O	10	N	R _d	G _d	B _d	Z	6	N	R _d	G _d	B _d	Z	4	N	R _d	G _d	B _d	Z		

TF831-3, Fig. D5Wdd: code et Landolt anneauN; R_d ; G_d ; B_d ; Z ; PS operator $rgb \rightarrow rgb_{dd}$ setrgbcolor



TF831-5, Fig. D6Wdd: anneaux Landolt $W-R_d$; $W-G_d$; PS operator $rgb \rightarrow rgb_{dd}$ setrgbcolor



TF831-7, Fig. D7Wdd: anneaux Landolt $W-B_d$; $W-N$; PS operator $rgb \rightarrow rgb_{dd}$ setrgbcolor